

## Topkvark

### 1 Základné vlastnosti

Základné konštituenty látky

leptóny	$Q$	$T_3$	Kvarky	$Q$	$T_3$
$\nu_e \nu_\mu \nu_\tau$	<b>0</b>	<b>1/2</b>	<b>uct</b>	<b>2/3</b>	<b>1/2</b>
$e \mu \tau$	<b>-1</b>	<b>-1/2</b>	<b>dsb</b>	<b>-1/3</b>	<b>-1/2</b>

Tab.1: Fundamentálne fermióny,  $Q$  = elektrický náboj v [e],  $T_3$  = slabý izospin.

Hmotnosť -kvarku:  $m_{top} = 174.3 \pm 5.1 \text{ GeV}/c^2$

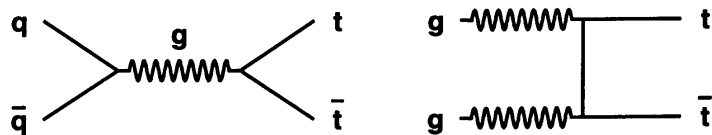
Objavený -kedy: 1995

Kde: Fermilab

### 1.1 Produkcia topkvarku

Základné mechanizmy produkcie -kvarku (v  $p\bar{p}$  (pp)-zrážkach) sú (viď Obr.1):

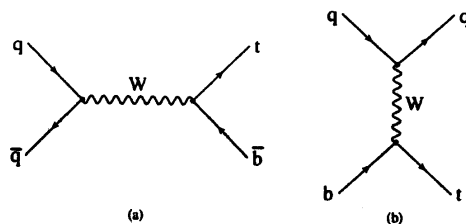
- Kvark-anitikvarková anihilácia
- Gluónováfúzia.



Obr. 1: Dominantné produkčné mechanizmy pre -kvark.

Dominantné produkčné mechanizmy sú prostredkovanej silnými interakciami akvarky sú produkované pároch ( $t\bar{t}$ ).

Produkcia singletného  $t$ -kvarku sa skutočne využíva prostredníctvom slabých interakcií (Obr.2).

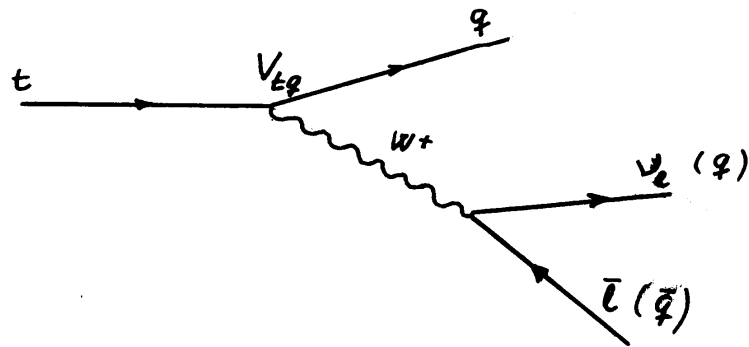


Obr. 2: Produkcia singletného  $t$ -kvarku via slabé interakcie: (a) s -kanálový proces; (b) t - kanálový proces.

## 1.2 Rozpad $t$ -kvarku

Vzhľadom nato, že hmotnosť  $t$ -kvarku ( $\approx 175 \text{ GeV}$ ) je značne väčšia ako hmotnosť  $W$ -bosónu ( $\approx 80 \text{ GeV}$ ),  $t$ -kvark sa rozpadá bez toho, že by hadronizoval.

Prislabých prechodoch môže  $t$  prechádzať na  $b$ , sa ale kvarky – intenzita prechodu je charakterizovaná elementom  $V_{tq}$  ( $q=b,c,s$ ) matice CKM (Obr. 3). Pri 3 pokoleniach sú časťic rozpad  $t$ -kvarku v devylyu činece z kanálu  $t \rightarrow Wb$  ( $V_{tb} \approx 1$ ).



Obr. 3: Rozpad  $t$ -kvarku, amplitúda rozpadu  $t \rightarrow Wb$  je úmerná elementu matice CKM ( $V_{tq}$ ).

Rozpadová poloháriká procesu  $t \rightarrow Wb$ :

$$\Gamma(t \rightarrow Wb) = \frac{G_F m_t^3}{8\pi\sqrt{2}} \left( 1 - 3 \frac{M_W^4}{m_t^4} + 2 \frac{M_W^6}{m_t^6} \right) \approx 1.56 \text{ GeV}$$

$$\tau_{top} = \frac{\hbar}{\Gamma(t \rightarrow Wb)} = \frac{6.58 \cdot 10^{-25} \text{ GeV} \cdot s}{1.58 \text{ GeV}} \approx 4 \cdot 10^{-25} \text{ s}$$

Ked'že,

$\tau_{hadr} \approx 10^{-23} \text{ s}$  platí:  $\tau_{top} \ll \tau_{hadr}$ , teda  $t$ -kvark sa rozpadne ešte predtým, než je formovaný hadrón.

## 2.Ointerakciáchfundamentálnychfermiónov

Elektromagnetická slabá interakcia fundamentálnych fermiónov sa podarilo zjednotiť do univerzálnej elektronskej interakcie.

Elektronská interakcia využíva lokálnu symetriu (spontánne narušenú)  $SU(2)_L \otimes U(1)$ .

Dôsledkom tejto symetrie je, že v systéme fundamentálnych fermiónov je elektronská interakcia prostredkovana:

- Kalibračným bozónmi  $W^{\pm 0}$ s väzbovou konštantou úmernou  $T^{\pm 3}$  (generátory  $SU(2)_L$ , komponenty slabého izospinu)
- Kalibračným bozónom  $B^0$  (nábojový singlet) s väzbovou konštantou úmernou  $Y$  (generátor grupy  $U(1)$ ).

Zmiešaním  $W^0 a B^0$  vznikajú fyzikálne stavovy neutrálnych kalibračných bozónov:  $Z$ -bozón ( $Z$ ) a fotón ( $\gamma$ ).

### Interakcia fundamentálnych fermiónov - kalibračným bozónmi

Interakčný lagrangiánsky systém pre fundamentálne fermióny:

$$L_F^{\text{int}} =$$

$$\sum_f \bar{f} (i\partial^\mu - m_f) f \quad \begin{array}{c} \text{---} \\ \bullet \end{array} \quad \frac{i}{q - m_f}$$

$$+ J_{em}^\mu A_\mu \quad \begin{array}{c} \text{---} \\ \gamma \end{array} \quad -ie Q_f \gamma_\mu$$

$$+ J_{NC}^\mu Z_\mu \quad \begin{array}{c} \text{---} \\ Z \end{array} \quad i \frac{e}{2 \sin \theta_W \cos \theta_W} \gamma_\mu (v_f - a_f \gamma_5)$$

$$+ J_{CC}^\mu W_\mu \quad \begin{array}{c} \text{---} \\ W \end{array} \quad i \frac{e}{2\sqrt{2} \sin \theta_W} \gamma_\mu (1 - \gamma_5)$$

$$+ \frac{g_f}{\sqrt{2}} \bar{f} f H \quad \begin{array}{c} \text{---} \\ \cdots \end{array} \quad i \frac{g_f}{\sqrt{2}} = i \frac{e}{2 \sin \theta_W} \frac{m_f}{M_W}$$

+

Kde

$m_f$  a  $Q_f$  sú hmotnosť resp. náboj fermiónu

$e$  –elementárny náboj

$\theta_W$  = uhol zmešania slabých interakcií:

$$Z_\mu = \cos \theta_W \cdot W_\mu^3 + \sin \theta_W \cdot B_\mu$$

$$A_\mu = -\sin \theta_W \cdot W_\mu^3 + \cos \theta_W \cdot B_\mu$$

aväzbové konštanty neutrálneho prúdu ( $v_f$  a  $a_f$ ) sú:

$$v_f = I_3^f - 2Q_f \sin^2 \theta_W \quad a_f = I_3^f .$$

### 3.Nepriame svedectvá existencie -kvarku

#### 3.1 Predo-zadná asymetria(FB-asymmetry)

Akuvažujeme proces  $e^+e^- \rightarrow f\bar{f}$ , tak tento proces v dôsledku interferencie medzi vektorovou a axiálne vektorovou časťou amplitúdy Z-výmeny interferencie amplitúds Z-bozónom a fotónom (viď. diagramy na obr. 1) vedie k asymetrii dopredu (F) a nazad (B)

$$\text{Top Diagram: } e_0^2 \frac{Q_e Q_f}{s} \gamma_\mu \otimes \gamma^\mu$$

$$\text{Bottom Diagram: } \frac{e_0^2}{4s_W^{0.2} c_W^{0.2}} \frac{[\gamma_\mu(I_3^e - 2Q_e s_W^2) - I_3^f \gamma_\mu \gamma_5] \otimes [\gamma^\mu(I_3^f - 2Q_f s_W^2) - I_3^f \gamma^\mu \gamma_5]}{s - M_Z^0}$$

produkovaných fermiónov ( $f(\bar{f})$ ):

$$A_{FB}^{(f)} = \frac{\sigma_F - \sigma_B}{\sigma_F + \sigma_B}, \quad (3.1)$$

kde  $\sigma_F$  ( $\sigma_B$ ) je účinný priezry produkcii fermiónu  $f$  dopredu (dozadu).

Pre asymetriu  $A_{FB}$  pri hmotnosti Z-bozónu ( $s = M_Z^2$ ), z predpokladu ne polarizovaných zväzkov, zanedbanie  $\gamma$ -výmeny  $\gamma Z$ -interferencie, platí:

$$A_{FB}^{(f)} = \frac{3}{4} A_e A_f + \dots, \quad A_f = \frac{2g_V^f g_A^f}{(g_V^f)^2 + (g_A^f)^2} \quad (3.2)$$

kde

$$g_V^f = \sqrt{\rho_f} (I_3^f - 2Q_f s_W^2) \quad g_A^f = \sqrt{\rho_f} I_3^f, \quad f = e, \mu, \tau, s, c, b$$

$s_W = \sin \theta_W$  je uhol elektrického závinu,  $\rho_f$  je faktor korekcie

Porovnanie experimentálneho rezultátu s asymetriou pre produkciu  $b\bar{b}$  spredpoveďou SM:

$A_{FB}^{(b)}(s = M_Z^2)$	Experiment (MeV)	Štandardný model	
		$I_3^b = -\frac{1}{2}$	$I_3^b = 0$
	0.0984 $\pm 0.0024$	0.1030 $\pm 0.0009$	0.

### 3.2 Pološírkarozpadu $Z \rightarrow b\bar{b}$

SM pre pološírku rozpadu  $Z \rightarrow b\bar{b}$  dáva:

$$\Gamma(Z \rightarrow b\bar{b}) = \frac{G_F M_Z^3}{6\sqrt{2}\pi} (g_V^2 + g_A^2) \cdot C_{QCD} = \frac{G_F M_Z^3}{3\sqrt{2}\pi} \left( (I_3^b - Q_b s_W^2)^2 + Q_b^2 s_w^4 \right) \cdot C_{QCD} \quad (3.3)$$

kde

$$C_{QCD} = 3 \left( 1 + \frac{\alpha_s}{\pi} + 1.409 \frac{\alpha_s^2}{\pi^2} - 12.77 \frac{\alpha_s^3}{\pi^3} \right) \quad (3.4)$$

predstavuje QCD -korekcie (faktor 3 je farebný faktor).

*Porovnanie experimentu s predpovedami SM:*

$\Gamma(Z \rightarrow b\bar{b})$	Experiment (MeV)	Štandardný model	
		$I_3^b = -\frac{1}{2}$	$I_3^b = 0$
	$377.4 \pm 2.1$	$376.0 \pm 0.1$	$24.2 \pm 0.1$

### 3.3 Neprítomnosť FCNC (flavormeniacene neutrálne prúdy).

Kvarkové tavy uvedené v Tab. 1 sú vlastnými stavmi slabého izospinu, nonesú vlastnými stavmi slabých interakcií. Flavorovými čistými stavmi sú kvarky  $d', s'$  a  $b'$ :

$$\begin{pmatrix} d' \\ s' \\ b' \end{pmatrix} = \begin{pmatrix} V_{ud} & V_{us} & V_{ub} \\ V_{cd} & V_{cs} & V_{cb} \\ V_{td} & V_{ts} & V_{tb} \end{pmatrix} \begin{pmatrix} d \\ s \\ b \end{pmatrix} \quad (3.5)$$

Kde  $V$  je unitárna matrica ( $V^\dagger V = 1$ ) nazývaná CKM-maticou (Cabibbo, Kobayashi, Maskawa). Nediagonálne nosť CKM -matica znamená prítomnosť nabitých slabých prúdov meniacich flavor. Napr. slabé prechody  $b \xrightarrow{w} c, u$  a  $s \xrightarrow{w} u$  sú skutočne čenújúvia nabité prúdy väzbovými konštantami úmernými  $V_{cb}, V_{ub}$  a  $V_{us}$ . V prípade, že  $b$ -kvark má izospinového (slabého) partnera, tj. že existuje  $t$ -kvark, potom v dôsledku unitarity  $V$  a univerzality väzby  $Z$  k 3 generáciám sa väzbové konštanty slabých neutrálnych prúdov meniacich flavor vyrúšia.

$$Z_\mu (\bar{d}' \Gamma^\mu d' + \bar{s}' \Gamma^\mu s' + \bar{b}' \Gamma^\mu b') = Z_\mu (\bar{d} \Gamma^\mu d + \bar{s} \Gamma^\mu s + \bar{b} \Gamma^\mu b) \quad (3.6)$$

Kde

$$\Gamma_\mu^f = i \frac{g}{2c_w} \gamma_\mu (v_f - a_f \gamma_5) = i \frac{g}{2c_w} \gamma_\mu ((1 - \gamma_5) I_3^f - 2 Q_f s_w^2) = \Gamma_\mu^{(f)I} + \Gamma_\mu^{(f)Q} 3.7$$

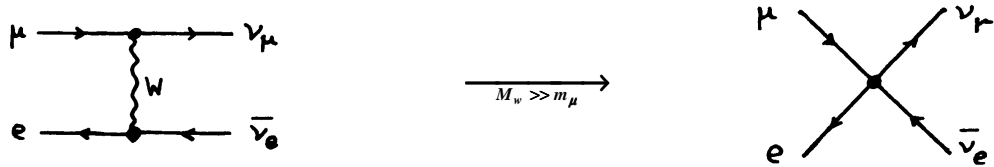
Vzťah 3.6 platí len v prípade, že  $\Gamma_\mu^f = \Gamma_\mu$  pre  $f = d, s, b$ . Ak však  $b$  je izotopický singlet, teda  $\Gamma_\mu^{(b)I} = 0$ , za tiaľ čo  $\Gamma_\mu^{(d)I} = \Gamma_\mu^{(s)I} \neq 0$ . Toviedie k tomu, že väzbové konštanty slabých neutrálnych prúdov meniacich flavor pre procesy  $Z\bar{b}s, Z\bar{b}d$  sú úmerné  $V_{tb}^* V_{ts}, V_{tb}^* V_{td}$ , čo znamená, že rýchlosť rozpadu via slabé neutrálne prúdy meniaci celou sústavu je rovnaká ako pri pôvodnom rozpadovi  $b \xrightarrow{W} c, u$ .

Prakticky by to znamenalo, že rozpad  $b \rightarrow \mu^+ \mu^- X$  by mal branching ratio  $\geq 1\%$ , čo sa nepozoruje ( $B_{exp} < 6.8 \cdot 10^{-7}$ , CL 90% ).

## 4. Topkvarka precízna elektroslabá fizika

### 4.1 Fermihokonštant a parametre SM

Uvažujme rozpad miónu  $\mu^- \rightarrow e^- \bar{\nu}_e \nu_\mu$ .



$$i \left( \frac{e}{2\sqrt{2} s_w} \right)^2 \frac{J_{CC}^{(\mu)} \cdot J_{CC}^{(e)}}{q^2 - M_W^2} \longrightarrow i \frac{G_\mu}{\sqrt{2}} J_{CC}^{(\mu)} \cdot J_{CC}^{(e)}$$

Kde  $J_{CC}^{(l)} = \bar{u}_l \gamma_\mu (1 - \gamma_5) u_l$  je nabity slabý prúd ( $l = e, \mu$ ).

**Dôležitý moment:**

charakteristická škála slabých interakcií ( $1/M_W$ ) << charakteristická škála  $\mu$  rozpadu ( $1/m_\mu$ ).

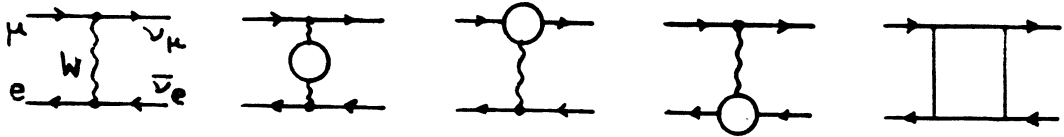
Vzťah medzi Fermihokonštantou a parametrami SM:

$$\frac{G_F}{\sqrt{2}} = \frac{e^2}{8s_w^2 M_W^2} \quad (4.1)$$

Ked'zovz ľahu (1) vypočítame  $M_W$  – dostaneme:  $M_W = 77.6 \text{ GeV}$ , zatiaľ čo experimentálna hodnota je  $M_W = 80.419 \pm 0.056 \text{ GeV}$ .

**Dôvod rozdielu:** neprávili sme do úvahy korekcie vysokých rádov!

#### 4.2K orekcievyššíchradov, Δra t-kvark



$$\frac{G_F}{\sqrt{2}} = \frac{e_0^2}{8s_W^{02}M_W^{02}} \left[ 1 + \frac{\Sigma^W(0)}{M_W^2} + (\text{vertex}, \text{box}) \right] \quad (4.2)$$

Kde

$e_0, s_W^0, M_W^0$  súholéparametre(náboj  $e$ ,  $\sin \theta_W$ , hmotnosť  $M_W$ )

$\Sigma^W(0)$  je vlastná energia  $W$ -bozónu.

Porenormálizácií, ktorá spočíavá tom, že vypočítame príspevky vyššíchradova

predefinujeme základné parametre, tj. prejdeme o dôležitých parametrov  $e_0, s_W^0, M_W^0$

k fyzikálne pozorovaným  $e, s_W, M_W$ , dostaneme:

$$\frac{G_F}{\sqrt{2}} = \frac{e^2}{8s_W^2 M_W^2} (1 + \Delta r) \quad (4.3)$$

Kde  $\Delta r$  je konečná čierna vlna vysvetľujúca sledok zahrnutia vyššíchradova dásavy jadri takto

$$\Delta r = \Delta \alpha - \frac{c_W^2}{s_W^2} \Delta \rho + (\Delta r)_{rem} \quad (4.4)$$

kde  $\Delta \alpha$  predstavuje korekcie 2. rádu k propagátoru fotónu od ľahkých fermiónov:

$$\Delta \alpha = -\text{Re} \hat{\Pi}^\gamma(M_Z^2) = \sum_f Q_f^2 \frac{\alpha}{3\pi} \left( \frac{5}{3} - \log \frac{M_Z^2}{m_f^2} \right) \quad (4.5)$$

$\Delta \rho$  predstavuje korekcie 2. rádu k propagátoru  $W$ -bozónu:

$$\Delta \rho = N_c \frac{\alpha}{16\pi s_W^2 c_W^2} \frac{m_t^2}{M_Z^2} \quad (4.6)$$

( $N_C=3$  je počet farieb).

$(\Delta r)_{rem}$  predstavuje všeobecné korekcie v čítane logaritmického závislosti od hmotnosti  $t$ -kvarka a Higgsovho bozónu:

$$(\Delta r)_{rem}^{top} = \frac{\alpha}{4\pi s_W^2} \left( \frac{c_W^2}{s_W^2} - \frac{1}{3} \right) \log \frac{m_t}{M_Z} + \quad (\Delta r)_{rem}^{Higgs} = \frac{\alpha}{16\pi s_W^2} \frac{11}{3} \left( \log \frac{M_H^2}{M_W^2} - \frac{5}{6} \right) \quad (4.7)$$

Vzťah 4.4 je možné použiť na určenie hmotnosti kvarku  $\Delta\alpha = 0.0602 \pm 0.0009$ , typická hodnota  $(\Delta r)_{rem} \approx 0.01$ . Výpočty dajú:

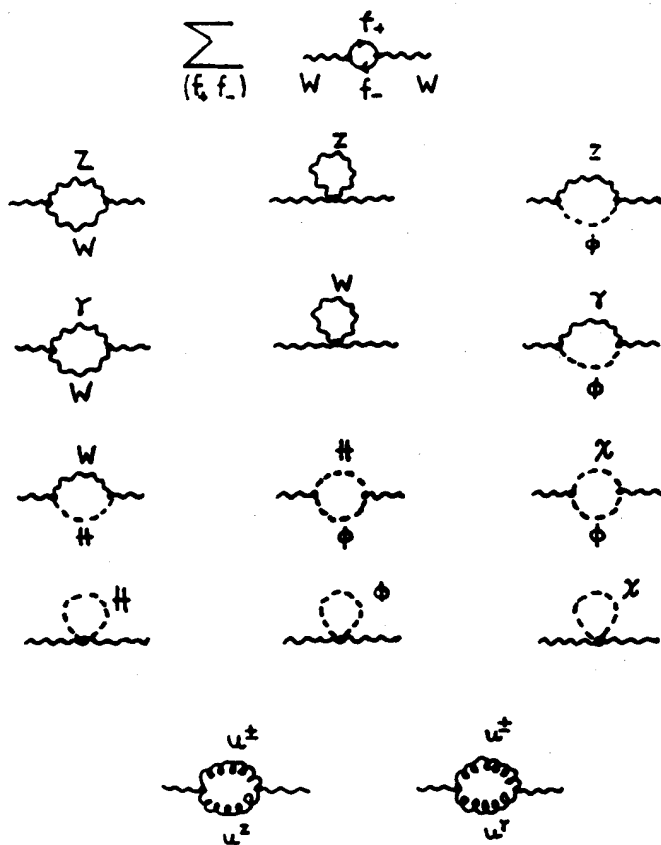
$$m_t = 168.2^{+9.6}_{-7.4} \text{ GeV}$$

*Poznámka 1.* Vzťah 4.7 umožňuje určiť hmotnosť Higgsovho bozónu.

*Poznámka 2.* Efekty vyšších (všetkých) rádov poruchovej teórie jemožné sú zámenou:

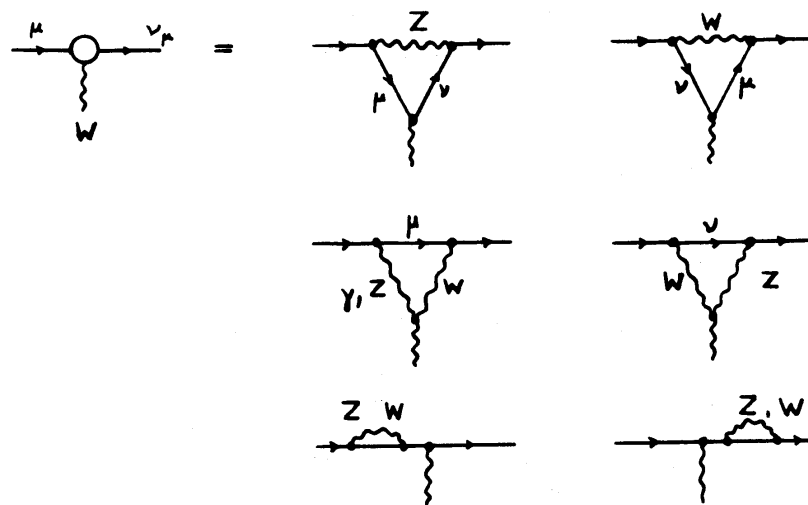
$$1 + \Delta r \rightarrow \frac{1}{1 - \Delta r}$$

Dodatok I: Vlastná energia W-bozónu

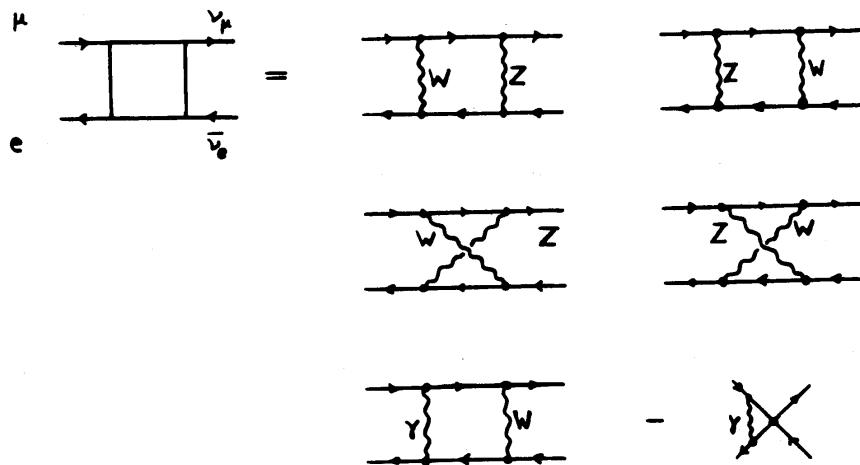


Dodatok 2: Vertexové korekcie a korekciu typu „box“.

### Vertexové korekcie

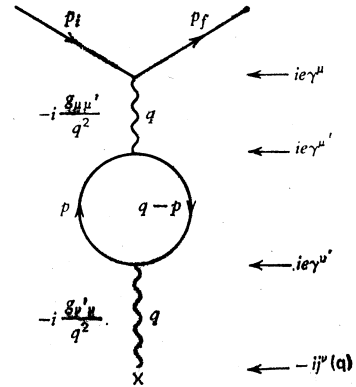


### Korekciu typu box



### Doplnok 3: Vlastná energia fotónu

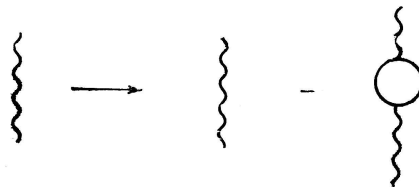
Uvažujme Rutherfordovský rozptyl elektrónu k amplitúde 1. rádu,  $M^{(1)} (\sim e^2)$  dodajme aj amplitúdu obsahujúcu fluktuácie virtuálneho fotónu napáre  ${}^+e^-$  (viď Obr. 1).



Obr. 1: Rutherfordovský rozptyl v 2. priblížení - fluktuácie virtuálneho fotónu napáre  ${}^+e^-$ .

Dodanie amplitúdy  $M^{(2)} (\sim e^4)$  k amplitúde  $M^{(1)} (\sim e^2)$  je ekvivalentná nasledovnej modifikácii propagátora:

Obr. 2: Modifikácia propagátora umožňujúca zahrnúť efekt virtuálnych párov do amplitúdy rozptylu



$$\frac{-ig_{\mu\nu}}{q^2} \rightarrow \frac{-ig_{\mu\nu}}{q^2} + \frac{-ig_{\mu\rho}}{q^2} \cdot \Sigma_{(\gamma)}^{\rho\sigma}(q^2) \cdot \frac{-ig_{\sigma\nu}}{q^2}$$

Vlastná energia fotónu:

$$\begin{aligned} -i\Sigma_{(\gamma)}^{\rho\sigma} &= -e^2 \int d^4 p \left| \left( \gamma^\rho \right)_{\alpha\beta} \cdot \frac{(\hat{p} + m)_{\beta\delta}}{p^2 - m^2} \cdot (\gamma^\sigma)_{\delta\alpha} \cdot \frac{(\hat{q} - \hat{p} + m)_{\lambda\alpha}}{(q - p)^2 - m^2} \right| \\ &= -e^2 \int \frac{d^4 p}{(2\pi)^4} Sp \left| \frac{\gamma^\rho (\hat{p} + m)}{p^2 - m^2} \cdot \frac{\gamma^\sigma (\hat{q} - \hat{p} + m)}{(q - p)^2 - m^2} \right| \end{aligned} \quad (1)$$

Kde  $\hat{p} = \gamma^\mu p_\mu$ ,  $m$  = hmotnosť fermiónu (elektrónu)

Problém: veľká čísla  $\Sigma_{\mu\nu}^{(\gamma)}(q^2)$  diverguje pri  $p \rightarrow \infty$

Výpočet integrálu  $\Sigma_{\mu\nu}^{(\gamma)}(q^2)$ :

$$\Sigma_{\mu\nu}^{(\gamma)}(q^2) = g_{\mu\nu} \cdot \Sigma(q^2) + \underbrace{\dots}_{\text{členy } \sim q_\mu q_\nu} \quad (2)$$

Kde

$$\Sigma(q^2) = \underbrace{\frac{\alpha}{3\pi} \int_{m^2}^{\infty} \frac{dp^2}{p^2}}_{\text{logaritmicky diverguje}} - \underbrace{\frac{2\alpha}{\pi} \int_0^1 dz \cdot z(1-z) \ln \left( 1 - \frac{q^2 z(1-z)}{m^2} \right)}_{\text{konečná časť}} \quad (3)$$

Kde je hmotnosť elektrónu. Členy umerné  $q_\mu q_\nu$  dávajú nulový kladovoamplitúdy po presúvaní. Budeme na prvú regularizovať logaritmicky divergujúcu časť  $\Sigma(q^2)$ , t.j.v.  $\Sigma(q^2)$  urobíme zámenu:

$$\infty \rightarrow M^2$$

**Poznámka.** Regularizácia predstavuje ohraničenie hybnosti, „cirkulujúcej“ v slučke zhora. Toto ohraničenie námenejá podľa Heisenbergovho principu neurčitosť diskrétnosť priestoru na úrovni  $1/M$ . Ak zahraniču  $M$  si volíme Planckovu hmotnosť  $t$

$(M_P = \sqrt{\hbar c/G} = 1.22 \cdot 10^{19} \text{ GeV}/c^2)$ , potom diskrétnosť priestoru je reprezentovaná minimálnou dĺžkou  $l_p = \hbar/(M_P c) \approx 1.6 \cdot 10^{-35} \text{ m}$ .

### Efekty $e^+e^-$ – slučiek pri malých prenesených hybnostach

Prí malých  $(-q^2)$  platí:

$$\ln \left( 1 - \frac{q^2 z(1-z)}{m^2} \right) \approx - \frac{q^2 z(1-z)}{m^2} \quad (4)$$

V tomto prípade pre  $\Sigma(q^2)$  dostávame:

$$\Sigma^{(\gamma)}(q^2) \approx \frac{\alpha}{3\pi} \ln \frac{M^2}{m^2} + \frac{\alpha}{15\pi} \ln \frac{(-q^2)}{m^2} \quad (5)$$

### Efekty $e^+e^-$ – slučiek pri veľkých prenesených hybnostach

Pri veľkých  $(-q^2)$  platí:

$$\ln \left( 1 - \frac{q^2 z(1-z)}{m^2} \right) \approx \ln \left( \frac{-q^2}{m^2} \right) \quad (6)$$

a

$$\Sigma^{(\gamma)}(q^2) \approx \frac{\alpha}{3\pi} \ln \left( \frac{M^2}{m^2} \right) - \frac{\alpha}{3\pi} \ln \left( \frac{-q^2}{m^2} \right) = \frac{\alpha}{3\pi} \ln \left( \frac{M^2}{-q^2} \right) \quad (7)$$

## Amplitúdarutherfordovskéhorozptyluprimalýchprenesenýchhybnostiach

Ak do vztahu (2) za  $\Sigma(q^2)$  dosadíme výraz (5) av amplitúde  $M^{(1)}$  takto zameňme propagátor podľa schémy na obr. 2, pre amplitúdu rozptylu v 2. Priblížení dostaneme:

$$-iM = ie\bar{u}_f \gamma^\mu u_i \cdot \left( \frac{-i}{q^2} \right) \cdot \left( 1 - \frac{e^2}{12\pi^2} \ln \left( \frac{M^2}{m^2} \right) - \frac{e^2}{60\pi^2} \frac{q^2}{m^2} + O(e^4) \right) (-iZe) \quad (8)$$

Ak zavedieme redukovaný náboj

$$e_R = e \left( 1 - \frac{e^2}{12\pi^2} \ln \left( \frac{M^2}{m^2} \right) \right)^{\frac{1}{2}} \quad (9)$$

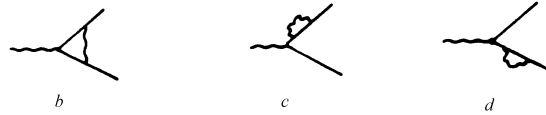
tak presnosťou  $O(e^4)$  pre  $(-iM)$  dostavame:

$$-iM = ie_R \bar{u}_f \gamma^\mu u_i \cdot \left( \frac{-i}{q^2} \right) \cdot \left( 1 - \frac{e_R^2}{60\pi^2} \frac{q^2}{m^2} \right) (-iZe_R) \quad (10)$$

Predpokladajme, že to čosameria v experimente je redukovaný náboj  $e_R$ , potom amplitúda  $M$  je v 2. priblížení konečná.

### Wardova identita.

Úplný výpočet amplitúdy si ziaďa zahrnujeť do  $e_R$  (v priblížení  $e^4$ ) aj konečné časti slučiek:



Jeja súčet je diagram žedne diagram



Nezávisí od typu rozptylu, ktorý je vanej

Avšak v prípade diagramov (b), (c) a (d) je rozptyl l'ovaná častica časťou slučky. Keďže tieto slučky sú vkladom korekcie, ktorá existuje, je možné závisť od typu častice – napr. náboj ( $e$ ) ≠ náboj ( $\mu$ ). Experimentálne sú súčasťou rozptylu častice nepozoruje. Výpočet súčtu diagramov (b), (c) a (d) je možné ukázať, že je rovný nule.

$$\begin{array}{c} \text{Diagram } b \\ + \frac{1}{2} \text{ Diagram } c \\ + \frac{1}{2} \text{ Diagram } d \end{array} = 0 \quad (11)$$

R

Teda modifikácia náboja jasne ukazuje, že súčet je rovný nule (diagram (a)).

## Odivergenciáchv QED.

Zhrnutiee Ze-rozptyluv druhompríblížení:

- diagram 4a modifikuje pre pagátorfotónu:

$$iD_{\mu\nu}(q^2) = \frac{-ig_{\mu\nu}}{q^2} + \frac{-ig_{\mu\alpha}}{q^2} \cdot i\Gamma^{\alpha\beta}(q^2) \cdot \frac{-ig_{\beta\nu}}{q^2} \quad (12)$$

- Vlastná energia fotónu  $I^{\alpha\beta}(q^2)$  diverguje logaritmický.
- Problém divergenciesme vziať, že sme  $I^{\alpha\beta}(q^2)$  najprv regularizovali:

$$\int_0^\infty dp \rightarrow \int_0^M dp \quad \text{a potom smerenormalizovali v oboch boj, t.j. urobili}$$

$$\text{zámenu: } e \rightarrow e_R = e \left( 1 - \frac{\alpha}{3\pi} \ln \frac{M^2}{m^2} \right)^{\frac{1}{2}} \quad \text{a } e_R \text{ je prehlásil zákon pozorovaný}$$

v experimente.

- Pracujúcs  $e_R$  smeukázali, že efekt virtuálnych chlpárov  $e^-e^+$  modifikuje potenciál medzi  $e^-$  a  $e^+$  a fyzikálne prejavom typu chlpárov v atóme vodíka je Lambov posuv.

- Diagram 4b modifikuje štruktúru elektrónového toku ( $-e\bar{u}_f \gamma^\mu u_i$ ):

$$\gamma^\mu \rightarrow \Gamma^\mu = \gamma^\mu + \Lambda^\mu \quad \text{čo pre malé } q^2 \text{ vedie k:}$$

$$-e\bar{u}_f \left\{ \underbrace{\gamma^\mu [1 + \dots]}_{\text{modifikuje náboj}} - \left[ \underbrace{\frac{\alpha}{3\pi} \frac{q^2}{m^2} \frac{i\sigma_{\mu\nu}}{2m} q^\nu}_{\text{vedie k anomálnemu mag. momentu}} \right] \cdot u_i \right\} \quad (13)$$

Vovšeobecnos ti 2. rádporuchovejteórie vedie k nasledovným divergentným diagramom:

- Vlastná energia fotónu (polarizácia vakuu):

$$\Sigma^{\mu\nu}(q^2) = -(ie)^2 \int \frac{d^4 p}{(2\pi)^4} Sp \left[ \gamma^\mu \cdot \frac{i(\hat{p} + m)}{p^2 - m^2} \cdot \gamma^\nu \cdot \frac{i(\hat{q} - \hat{p} + m)}{(q - p)^2 - m^2} \right] \quad (14)$$

- Vlastná energia elektrónu:

$$i\Sigma_{(e)}(p^2) = -(ie)^2 \int \frac{d^4 k}{(2\pi)^4} \gamma^\mu \cdot \frac{i(\hat{p} - \hat{k} + m)}{(p - k)^2 - m^2} \cdot \gamma^\nu \cdot \frac{-ig_{\mu\nu}}{q^2} \quad (15)$$

- Verteovákorekcia:

$$ieA^\mu(p, q, p+q) = (ie)^3 \int \frac{d^4 k}{(2\pi)^4} \left[ \frac{-ig_{\rho\sigma}}{(k+p)^2} \right] \gamma^\rho \cdot \frac{i(\hat{p} - \hat{k} + m)}{(p-q)^2 - m^2} \cdot \gamma^\mu \cdot \frac{i(\hat{k} + m)}{k^2 - m^2} \gamma^\nu \quad (16)$$

Uvedené integrály obsahujú divergencie, ktoré sú odstraňujú procedúrou renormalizácie.

Ukázali sme si v prípade náboja. Úplné odstránenie divergencií v QED sivý zaduje renormalizačného motnosťového funkciu časťice.